

М. Д. Герасименко, А. П. Кириенко, Г. А. Шароглазова

ОПРЕДЕЛЕНИЕ ГОРИЗОНТАЛЬНОЙ СОСТАВЛЯЮЩЕЙ СОВРЕМЕННЫХ ДВИЖЕНИЙ ЗЕМНОЙ КОРЫ СПОСОБОМ УРАВНИВАНИЯ РАЗНОСТЕЙ ИЗМЕРЕНИЙ БЕЗ ТВЕРДЫХ ПУНКТОВ НА ПРИМЕРЕ ТОЛБАЧИНСКОГО ГЕОДИНАМИЧЕСКОГО ПОЛИГОНА

(*Камчатка*)

При определении горизонтальной составляющей современных движений земной коры принято фиксировать в пространстве как минимум два пункта сети и выдвигать гипотезу о неизменности их взаимного положения во времени. Как показали исследования, такой подход в комплексе с неизбежными случайными погрешностями геодезических измерений в сети

вносит весьма существенные искажения в реальную картину горизонтальных деформаций земной поверхности. Предлагаемый способ позволяет в значительной степени избавиться от ошибок исходных данных, ошибок редукции и многих систематических ошибок измерений в искомых векторах горизонтальных смещений.

В настоящее время к характеристикам горизонтальной составляющей современных движений земной коры (СДЗК), найденным по геодезическим данным, принято относить следующие величины:

- 1) векторы горизонтальных смещений точек земной поверхности;
- 2) компоненты деформаций земной поверхности;
- 3) разности наклонных дальностей.

Векторы горизонтальных смещений, как правило, определяются по разностям уравненных координат. Компоненты деформаций могут быть вычислены либо по разностям уравненных координат, либо по разностям непосредственно измеренных величин: а) углов треугольника (метод Франка), б) углов и сторон, образующих эти углы [7].

В свою очередь, разности уравненных координат могут быть получены двумя путями:

- 1) из раздельного уравнивания угловых или линейно-угловых измерений, выполненных в сравниваемые эпохи;
- 2) из уравнивания разностей измеренных величин параметрическим или коррелатным способом [1, 5].

При этом принято фиксировать в пространстве как минимум два пункта сети и выдвигать гипотезу о неизменности их взаимного положения во времени. Как показали исследования [2], такой подход в комплексе с неизбежными случайными погрешностями геодезических измерений в сети вносит весьма существенные искажения в реальную картину горизонтальных деформаций земной поверхности. Практически вероятность ее получения на противоположных от исходных пунктов краях сети приближается к нулю.

Способом, позволяющим увеличить достоверность получаемых результатов, является метод трансформирования, который дает лучшие ре-

зультаты, если в сети имеется система относительно стабильных пунктов, расположенных по краям сети. Однако, если число относительно стабильных пунктов невелико (около 17%) и они расположены на одном краю сети, то метод трансформирования не обеспечивает достоверность получения векторов горизонтальных смещений на противоположном краю сети.

Из вышеперечисленных характеристик горизонтальной составляющей СДЗК к неискаженным в результате математической обработки следует отнести: разности наклонных дальностей и компоненты деформаций, вычисленные по непосредственно измеренным величинам.

Однако от традиционного способа отображения горизонтальной составляющей СДЗК с помощью векторных схем отказаться нельзя, так как именно эти схемы дают наиболее наглядную картину результирующих подвижек на обширных участках.

С целью увеличения достоверности отображения плоского распределения горизонтальных деформаций векторами предлагается производить уравнение разностей измеренных сторон, направлений и азимутов без фиксации исходных пунктов в сети, т. е. все элементы в сети принимать за определяемые.

В основу предлагаемой методики положен параметрический способ уравнивания свободных геодезических сетей [9]. Методика реализована в виде программы, составленной М. Д. Герасименко на языке ФОРТРАН-IV (ЕС ЭВМ). При этом используются три типа уравнений поправок разностей: направлений, сторон и дирекционных углов. Веса уравниваемых величин вычисляются по формуле

$$P_i = \frac{\mu^2}{m_i^2}, \quad (1)$$

где m_i — средняя квадратическая ошибка соот-

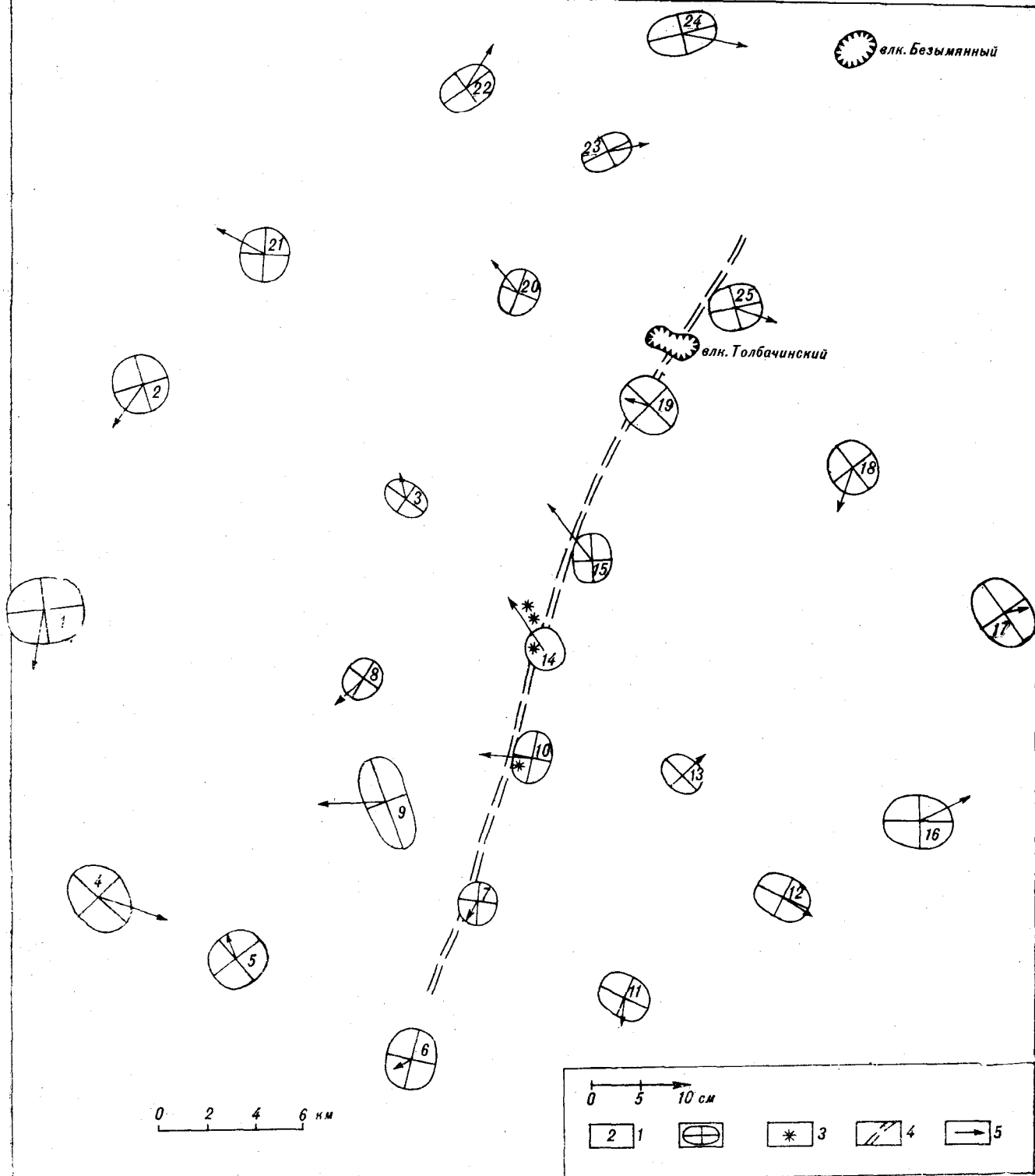


Рис. 1. Схема векторов горизонтальных смещений на Толбачинском геодинамическом полигоне 1976—1977 гг.
1 — пункт триангуляции; 2 — эллипс ошибок; 3 — места образования Новых Толбачинских вулканов (Северный и Южный прорывы); 4 — основной разлом; 5 — векторы горизонтальных смещений.

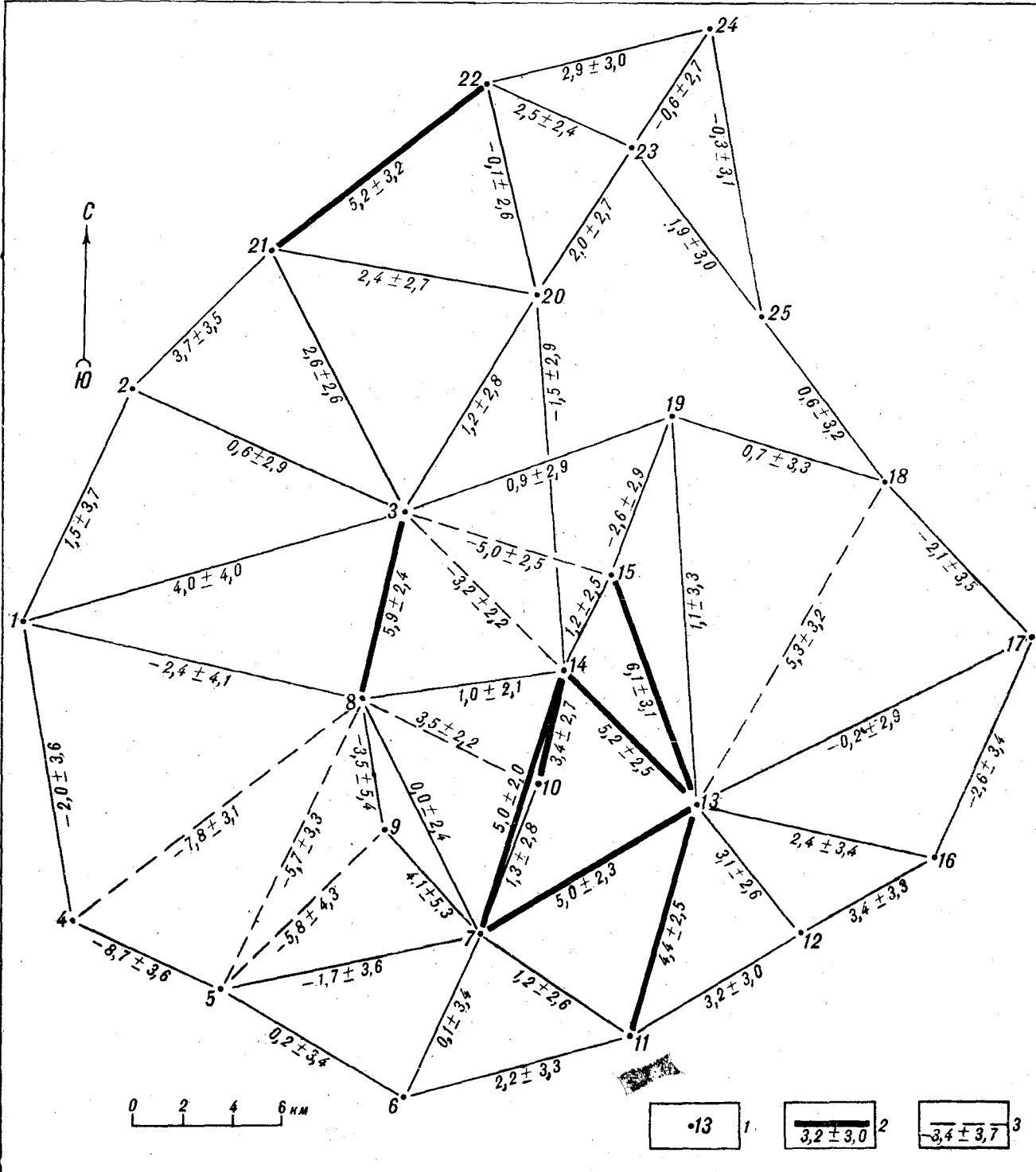


Рис. 2. Схема разностей уравненных сторон.

1 — пункт триангуляции; 2 — сторона триангуляции со значимым растяжением; величина растяжения и характеристика точности его определения в см; 3 — сторона триангуляции со значимым сжатием; величина сжатия и характеристика точности его определения в см.

•13

1.

—3,2 ± 3,0

2.

—3,4 ± 3,7

3.

ветствующей разности, μ — средняя квадратическая ошибка единицы веса, принятая до уравнивания.

Единственное нормальное псевдорешение уравнений поправок, удовлетворяющее условию метода наименьших квадратов

$$V^T P V = \min, \quad (2)$$

дает вектор уравненных разностей координат двух эпох

$$X = -N^+ L, \quad (3)$$

где псевдообратная к матрице нормальных уравнений N матрица, удовлетворяющая условию $X^T X = \min$, с целью повышения устойчивости решения и ослабления влияния ошибок округлений находится по формуле

$$N^+ = \sum_{i=1}^r \lambda_i^{-1} Z_i Z_i^T, \quad (4)$$

λ_i и Z_i — собственные значения и соответствующие им собственные векторы матрицы N ;

$$r = 2n - d, \quad (5)$$

r — ранг матрицы N ; d — дефект сети, равный числу недостающих исходных данных, необходимых для установления масштаба, ориентировки или положения сети относительно принятой системы координат; L — вектор свободных членов системы нормальных уравнений; P и V — весовая матрица и вектор поправок к разностям измерений двух эпох.

Для оценки точности любых параметров СДЗК используется формула

$$m_f = \sqrt{f K(X) f^T}, \quad (6)$$

где f — строка коэффициентов весовой функции; $K(X) = \sigma^2 N^+$ — ковариационная матрица разностей уравненных координат двух эпох; σ — средняя квадратическая ошибка единицы веса из уравнивания.

В качестве дополнительной характеристики точности определения величин СДЗК вычисляются параметры эллипсов ошибок получения горизонтальных смещений пунктов.

Предлагаемым способом уравнены разности направлений и сторон, измеренных в 1976 и 1977 гг. в линейно-угловой сети Толбачинского геодинамического полигона. Результаты уравнивания представлены на рис. 1 и 2.

Ошибки векторов горизонтальных смещений пунктов возрастают по мере удаления от центра сети и не превышают 3,4 см, большая полуось эллипса ошибок по сети не превышает

3,8 см. С вероятностью 94,3—97,2% можно утверждать, что значимые векторы горизонтальных смещений получены на пунктах 1, 4, 8, 21 и 24. Для пунктов 9, 10, 14 и 15 вероятность утверждения о значимости векторов составляет 98,8—99,7%.

На рис. 2 выделены значимые с вероятностью не ниже 91,1% разности уравненных сторон, с помощью которых выявляются зоны расширения и сжатия, расположенные вокруг Северного и Южного прорывов Большого трещинного Толбачинского извержения (БТТИ) 1975—1976 гг. Зона сжатия распространилась относительно узкой полосой на юго-запад от Южного прорыва.

Программа прошла также испытания на модельной сети сплошной триангуляции, состоящей из 36 правильных треугольников с длиной стороны 10 км. В модели были заданы горизонтальные деформации и смоделированы случайные погрешности угловых измерений. Средняя квадратическая ошибка отклонений полученных векторов от заданных получилась равной $\pm 5,5$ см. В целом отмечена хорошая сходимость заданных деформаций с полученными предлагаемым способом.

ВЫВОДЫ

1. Предлагаемый способ определения горизонтальной составляющей СДЗК дает более надежные по сравнению с уравниванием традиционными способами результаты, так как позволяет исключить влияние на значения исключимых векторов систематических ошибок измерений, ошибок редуцирования и ошибок исходных данных.

2. По результатам уравнивания разностей измеренных горизонтальных направлений и сторон получена уточненная по сравнению с ранее полученными данными [3, 4, 8] картина горизонтальных деформаций земной поверхности в районе БТТИ в период 1976—1977 гг. Она хорошо согласуется со схемами площадного распределения компонент деформаций, найденными по непосредственно измеренным величинам (углам и сторонам).

3. Уверенно (с вероятностью 95%) зафиксирована зона сжатия в центре полигона, которая связана, очевидно, с происходившим в этот период процессом остаточных деформаций, вызванных БТТИ в 1975—1976 гг. [6].

4. Существенных горизонтальных деформаций на севере сети не отмечено.

ЛИТЕРАТУРА

1. Изотов А. А. О геодезических методах изучения движений земной коры.— Изв. вузов. Геодезия и аэрофотосъемка, 1963, № 1.

2. Изотов А. А. Опыт моделирования горизонтальных движений земной коры.— В кн.: Проблемы современных движений земной коры. Третий Междуна-

- родный симпозиум. Ленинград, СССР, М., 1968.
3. Кириенко А. П. Результаты определения горизонтальных деформаций земной поверхности в районе Большого трещинного Толбачинского извержения по материалам угловых и линейных измерений, 1971, 1976 и 1977 гг.—Бюл. вулканологических станций, № 56, М., 1979.
 4. Кириенко А. П., Шульман В. А., Никитенко Ю. П. Анализ методов и результатов геодезических работ на Толбачинском геодинамическом полигоне в 1971—1976 гг.—В кн.: Геологические и геофизические данные о Большом трещинном Толбачинском извержении 1975—1976 гг. М.: Наука, 1978.
 5. Панкрушин В. К. Геодезические методы определения и оценка точности некоторых параметров горизонтальных движений земной коры. Новосибирск, 1972. (Тр. НИИГАиК, т. 27.)
 6. Федотов С. А., Эйман В. Б. и др. Деформации земной поверхности вблизи Новых Толбачинских вулканов (1975—1976 гг.).—В кн.: Геологические и геофизические данные о Большом трещинном Толбачинском извержении 1975—1976 гг. М.: Наука, 1978.
 7. Шульман В. А., Фогиади Э. Э. и др. Изучение полей деформаций земной коры методом конечных элементов.—Геодезия и картография, 1979, № 5.
 8. Шульман В. А., Шароглазова Г. А. Горизонтальные и вертикальные деформации земной поверхности в районе Большого трещинного Толбачинского извержения по данным геодезических измерений 1971, 1976 и 1977 гг.—Вулканология и сейсмология, 1980, № 3.
 9. Ashkenazi V. Criteria for optimization: a practical assessment of a free network adjustment.—Bollettino di geodesia e scienze affini, 33, 1974, N 1.

Предприятие ГУГК

Поступила в редакцию
13 января 1983 г.

УДК 551.734.3

M. B. Горошко

О ДЕВОНСКИХ СВИТАХ ЮГО-ЗАПАДНОГО СИНГОРЬЯ (Ханкайский срединный массив)

Изучение состава отложений различных свит юго-западного Синегорья в обнажениях, находящихся на различном расстоянии от палеоцентров вулканизма, позволило сделать вывод об одновременности их образования и приуроченности к разным фациальным

зонам единых вулканогенно-осадочных формаций. Описываются условия их формирования, предлагается новая стратиграфическая схема девонских отложений района.

Девонские вулканогенные образования Ханкайского срединного массива впервые выделены и описаны Н. Г. Мельниковым [5]. Позднее Л. А. Изосов [3] отнес к девону сложный комплекс пестрых по составу отложений, развитых в бассейнах рек Черниговки, Синегорки, Тихой, Снегуровки (см. рисунок), и расчленил их на вассиановскую, тихорецкую, левочерниговскую свиты, светлояровскую толщу, люторгскую свиту и толщу диабазов суммарной мощностью около 9750 м [2].

Возраст отложений обоснован Л. А. Изосовым находками фораминифер среднего девона — *Cribrosphaeroides simplex* (Reifl.), *Bisphera elegans* Viss., *Tournayellides* и др. в прослоях известняков второй пачки вассиановской свиты, а также флоры раннего (*Psilophytites* sp., *Platyphyllum* sp.) и среднего (*Protohyehia* sp. nov. *Glyptophyton* sp., *Protolepidodendron sharianum* Kreya *Blasaria* sp.) девона в кремнистых алевролитах люторгской свиты.

Четкие взаимоотношения девонских свит не установлены. Л. А. Изосов придерживается мнения о согласном залегании отложений вассиановской, левочерниговской свит и вышележащей светлояровской толщи. Что касается положения в разрезе тихорецкой и люторгской свит, то проведенные работы с примене-

нием опорного и картировочного бурения однозначного ответа на этот вопрос не дали. Мощность девонских вулканогенных образований, определенная по разрозненным разрезам, значительно завышена и не соответствует данным глубинного сейсмического зондирования [1] и результатам опорного бурения.

Детальное изучение разрезов отложений тихорецкой, вассиановской, левочерниговской и люторгской свит позволило объединить их в единый вулканогено-терригенный комплекс, а выделенные Л. А. Изосовым стратиграфические подразделения или их части считать стратиграфическими аналогами. На синхронность их образования указывают следующие данные.

В первой и второй пачках вассиановской свиты наблюдаются горизонты и линзы карбонатизированных миндалекаменных и массивных эфузивных диабазов, аналогичных левочерниговским. Л. А. Изосовым они описаны в истоках р. Грибной, а нами — в керне скважин в верховьях левых притоков руч. Падь Шутева. Залегают они параллельно слоистости в песчаниках и алевролитах. В кровле наблюдается тонкий прослой левобрекчии, поверхность контакта диабазов с перекрывающими их породами неровная, бугристая. Мощность горизонтов лавы до 1—2 м.